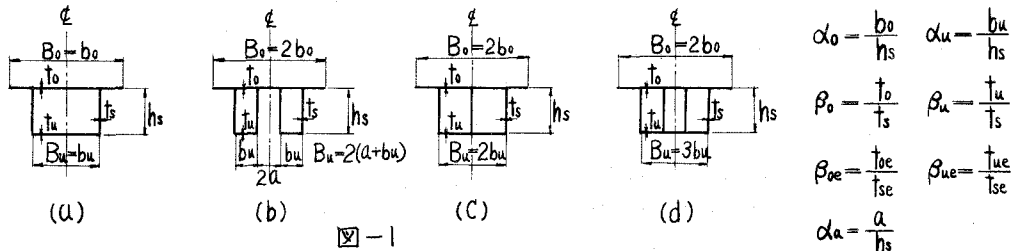


## I - 63 各種の箱桁橋の曲げ挾りに関する諸特性について

大阪市土木局 正員 近藤和夫  
 大阪市立大学工学部 正員 工博 小松定夫  
 ○大阪市土木局 正員 加藤隆夫

薄肉部材で構成される桁に偏心荷重が作用するとき、挾りによるスパン方向の「そり」が一般に拘束を受け、桁に曲げ挾り応力が発生する。この応力が断面の型式、形状寸法、スパン、荷重の種類によってどのように変化し、また桁の断面決定にどの程度影響するかを知ることは構架の計画、設計上重要な問題である。そこで実際上しばしば現れる図-1に示すような対称断面の箱桁橋を取り上げ、単純桁橋、連続桁橋について、この種の問題に検討を加えた。



(1) 曲げ挾り定数： 数値計算を容易にするために、そり関数  $W_{ij}$ 、曲げ挾り抵抗  $C_w$ 、挾り抵抗  $J$  等の定数を、文献(1)(2)に基づいて断面の寸法比、 $\alpha_i, \beta_i$  ( $i=0, u, a, ue, ue, etc.$ ) に関する代数式で表現し、各型式について次の結果を得た。

$$W_{ij} = h_s^2 W_{ij}(\alpha_i, \beta_i) \quad C_w = h_s^3 tse C_w(\alpha_i, \beta_i) \quad J = h_s^3 tse J(\alpha_i, \beta_i) \quad \alpha = \sqrt{\frac{GJ}{EC_w}} = \frac{1}{h_s} \alpha(\alpha_i, \beta_i) \quad (1)$$

ここに  $W_{ij}(\alpha_i, \beta_i)$ 、 $C_w(\alpha_i, \beta_i)$ 、 $J(\alpha_i, \beta_i)$ 、 $\alpha(\alpha_i, \beta_i)$  等は  $\alpha_i, \beta_i$  に関する代数式で、それぞれ型式によつて相違する。型式(a)と(c)は断面が対称のとき、各定数が等しくなることは言うまでもない。なお  $t_{ue}, t_{ue}, t_{se}$  は換算厚であつて、合成桁のコンクリート床版、あるいは鋼床板箱桁等における上下フランジプレートのリブおよび腹板の補剛材の影響を考慮したものである。一般に  $t_{ue} = kt_i$  ( $k$ : 係数) で表わすことができた。

(2) 曲げ挾り応力 ( $\sigma_w$ )： 曲げ挾りの垂直応力  $\sigma_w$  は、曲げ挾りモーメントを  $M_w$  とするとき、次式で与えられる。

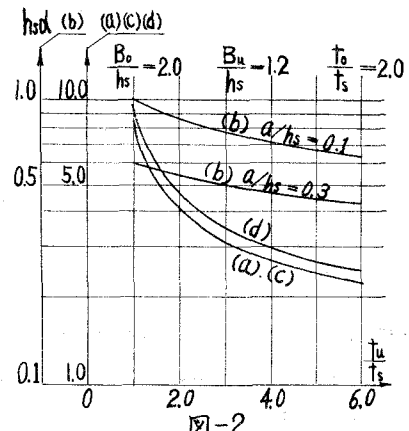
$$\sigma_{wj} = M_w \frac{W_{ij}}{C_w}$$

式(1)から

$$\sigma_{wj} = M_w \frac{1}{h_s^3 tse} \cdot \frac{W_{ij}(\alpha_i, \beta_i)}{C_w(\alpha_i, \beta_i)} \quad \text{あるいは} \quad \frac{\sigma_{wj}}{M_w} \frac{h_s^3 tse}{W_{ij}(\alpha_i, \beta_i)} = \frac{W_{ij}(\alpha_i, \beta_i)}{C_w(\alpha_i, \beta_i)} \quad (2)$$

また  $M_w$  は、トルク荷重を  $M_t$ 、スパンを  $l$  とするとき、スパン方向の任意の点  $X$  に対して次のように表現された。

$$M_w = M_t f(x, \alpha, l) \quad \text{あるいは} \quad \frac{M_w}{M_t} = f(x, \alpha, l) \quad (3)$$



ここに  $f(x, \alpha, l)$  は  $x, \alpha, l$  の関数であって、傾り角  $\alpha$  の弾性方程式を解いて得られる。

(3) 計算図表の作成： 式(1)(2)(3)から  $\delta w$  が求められる。しかしこの計算はかなり複雑であるので、図表計算が可能になれば、設計上極めて便利である。そこで式中の  $\alpha_i, \beta_i, x, \alpha, l$  等をパラメーターとして、実際の橋梁諸元を考慮した種々の組み合せに対して、  
 $\frac{W_s(d_i, B_i)}{C_w(d_i, B_i)}, \frac{M_w}{\delta w}, \frac{\alpha}{h_s}$  その他を計算し。

図表化した。これによって、断面、スパン、荷重等の影響も含めて、直ちに上記の値を読みとることができた。以下に結果のごく一部を示す。(図-2~8)。

(i)  $d(d_i, B_i)$  と  $\alpha_i, \beta_i$  との関係： 型式(a)と(d)は、 $B_0, B_u$  を一定にする場合、類似の傾向を示し、その差は小さい。断面の形状寸法の変化に対しては、かなり敏感で、特に型式(a)では  $d_0 = d_u = B_0 = B_u$  とするととき、 $d(d_i, B_i)$  は無限大となる。この場合には  $\delta w = 0$  で  $\delta w$  は生じない。これに対して、型式(b)の値は一般に型式(a)より一桁小さく、 $\alpha_i, \beta_i$  の変化に対しても鈍感である。次にリブを考慮する場合、鋼床板箱形橋では通常  $k = 1.4 \sim 1.8$  であるが、その影響は小さい。

(ii)  $\frac{W_s(d_i, B_i)}{C_w(d_i, B_i)}$  と  $\alpha_i, \beta_i$  との関係： これに対しては  $d(d_i, B_i)$  の場合とはほぼ類似の関係が得られる。

(iii)  $\frac{M_w}{\delta w}$  と  $d, l$  との関係： 偏心荷重は同時に

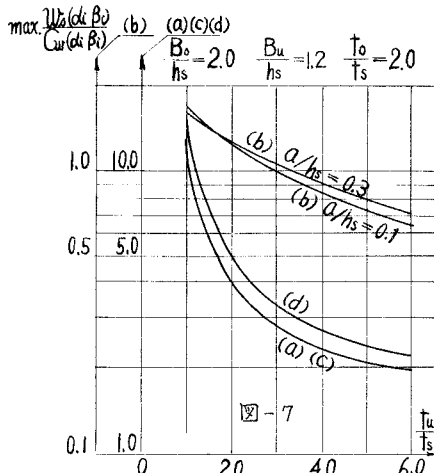


図-7

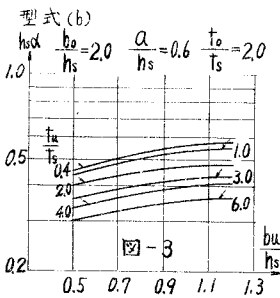


図-3

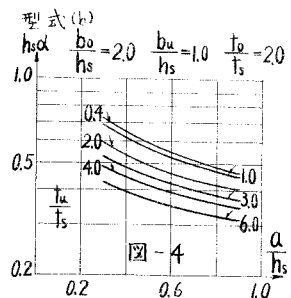


図-4

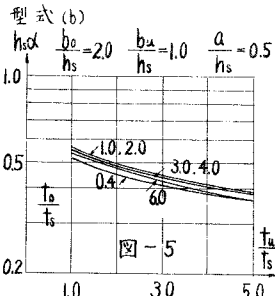


図-5

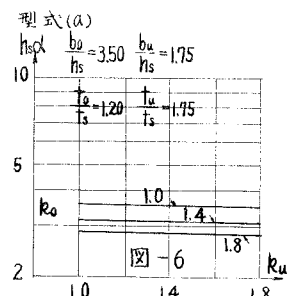


図-6

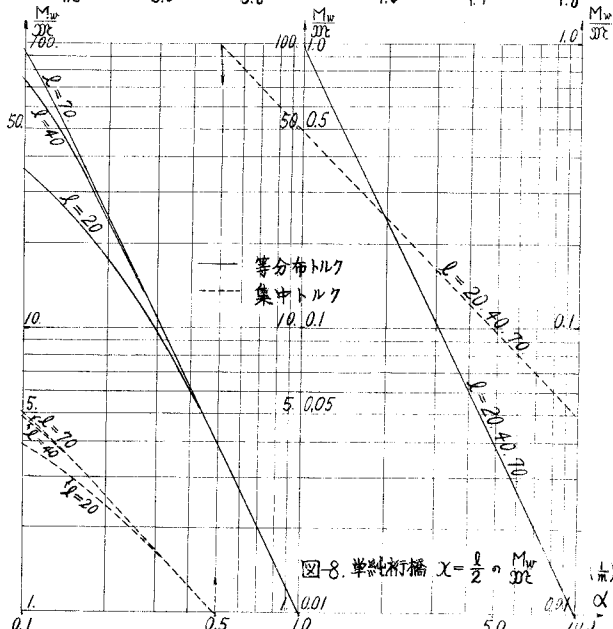


図-8. 単純桁橋  $X = \frac{l}{2} \cdot \frac{M_w}{dy}$

生ずる曲げモーメントが最大となる位置に載荷した。 $\alpha$  が大きくなると  $M_w$  の値は、 $\alpha$  のみの関数となり、桁全長にわたって一定値を示す。これらの計算図表を用いて、二・三の設計例について検算した結果、精密計算に対して、十分の精度で利用できることを確認した。

(1) 小西, 小林, 大浦: 合成箱形橋の応力解析と設計計算法。土木学会論文第258号, 1965

(2) Branschier F.W.: Systematische Darstellung des Biege- und Verdrehverhaltens unter besonderer Berücksichtigung der Wirkungsfaktoren. Stahlbau 1952